

ドットパターンを回転するアルゴリズム

中森眞理雄

東京農工大学工学部数理情報工学科

1語が n ビットの計算機において、連続する n 語に $n \times n$ ドットパターンがあるとす。すなわち、このパターンの第 i 行第 j 列にドットがあるならば第 i 語の第 j ビットの値は 1 で、さもなければその値は 0 とする ($i, j = 0, 1, \dots, n-1$)。このパターンを 90° 回転する問題、すなわち、第 i 語の第 j ビットを第 $(n-1-j)$ 語の第 i ビットに移す問題を考える。本論文では、この問題に対して手間が $O(n \log n)$ のアルゴリズムを提案する。このアルゴリズムを少々手直しするだけで 180° 、 270° 回転するアルゴリズムも導かれる。ドットパターンを回転するアルゴリズムと高速フーリエ変換との類似点についても述べる。

An $O(n \log n)$ Algorithm of Rotating an $n \times n$ Bit Pattern in a Computer

Mario Nakamori

Department of Information Science

Tokyo University of Agriculture and Technology

2-24-16, Nakamachi, Koganei, Tokyo 184, Japan

Suppose a dot pattern (figure, letter, symbol, etc.) is represented as a sequence of n words of a computer memory, where each word consists of n bits. If a dot exists in the i -th row and the j -th column ($i, j=0, 1, \dots, n-1$) of the matrix, then the j -th bit of the i -th word is 1; otherwise, the bit is 0. Then our problem is as follows: Rotate counterclockwise by 90° the bits in these n words, i.e., move the j -th bit of the i -th word to the i -th bit of the $(n-1-j)$ -th word. In the present paper we propose an $O(n \log n)$ algorithm for this problem. Also, the analogy between this algorithm and the fast Fourier transform is considered.

1. はじめに

文字、記号、図形などのパターンが n 行 n 列のドットマトリックスとして計算機の記憶装置の中に格納されているとする。ここに n はこの計算機の 1 語の長さとし、このパターンはこの計算機の連続する n 語を占めるものとする。このパターンの第 i 行第 j 列にドットがあるならば第 i 語の第 j ビットの値は 1 で、さもないならばその値は 0 とする ($i, j = 0, 1, \dots, n-1$)。ただし、語のもっとも左のビットが第 0 ビットで、もっとも右のビットが第 $n-1$ ビットとする。このとき、このパターンを 90° 回転する問題、すなわち、第 i 語の第 j ビットを第 $(n-1-j)$ 語の第 i ビットに移す問題を考える (図 1)。

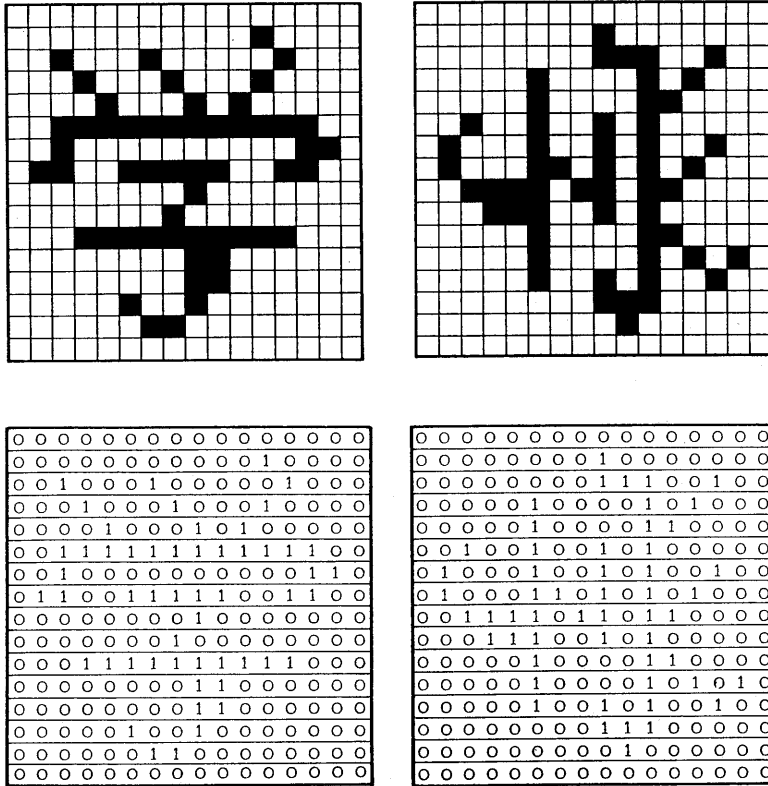


図1 ドットパターンの回転

この問題はプリンタやディスプレイの設計などに現れることがある。

同じパターンを 90° , 180° , 270° 回転したり、上下、左右に反転したりすることはしばしば必要となることである (例えば、将棋や麻雀の記録)。回転されたり反転されたりしたパターンを別のパターンとして記録しておくことも考えられるが、それには一つのパターンを記録するのに比べて何倍もの記憶場所が必要である。一つのパターンだけを記録しておいて、使う際にはそのコードと回転・反転の情報とを併せて用いる方法はデータ通信の量を倍にし、回転・反転の手間を要する。どちらが良いかは状況によるが、それはともかく、回転・反転の高速なアルゴリズムを開発しておくことは意義のあることであろう。

素朴に n^2 個のビットの各々を対応する場所に移動すれば回転・反転の目的は達せられる。しかし、それでは $O(n^2)$ の手間を要する。 $n \times n$ ドットパターンを上下・左右の 4 つに分割することを繰り返して 4 分木 (quadtree) として表現すれば、回転や反転はポイントのつけ換えでできるが、データを 4 分木に変換するために $O(n^2)$ の手間を要する。本論文では、 $n \times n$ ドットパターンを $O(n \log n)$ の手間で行ったり反転したりするアルゴリズムを提案する。

本論文の動機は、日本語活字システムにおけるプリンタ部の設計に由来している。そこでは、CPU に M

C68000を用い、一つの32×32ドットパターンを5ミリ秒以内で回転したり反転したりすることが要求された。素朴なアルゴリズムではビットの移動を1024回繰り返すから、1回のビットの移動を約5マイクロ秒以内で行わなければならない。もっとも単純なAND命令にすら1マイクロ秒を要するMC68000にとって、この条件を満たすことは困難である。より高速のCPUを使うことも考えられるが、その場合は処理速度に対する要求も同時に厳しくなるはずであり、根本的な解決にはならない。本論文で提案するアルゴリズムは一つの32×32ドットパターンを約3ミリ秒で回転したり反転したりすることができ、十分に目的は達せられる。

本論文のアルゴリズムは、部分パターンの回転を複数並行して行うという考えに基づいている。この考えは高速フーリエ変換にも見られるものである。本論文では、ドットパターンの高速回転と高速フーリエ変換との類似点についても述べる。

2. 90° 回転アルゴリズムR₉₀

本アルゴリズムはn×nドットパターンを同じ大きさの部分パターンに分割し、横に並んだ部分パターン全部の回転を同時に行う。図2では16個のブロック（部分パターン）に分割し、横に並んだ4個のブロック（たとえば、図の“A”，“B”，“C”，“D”）を同時に回転する。

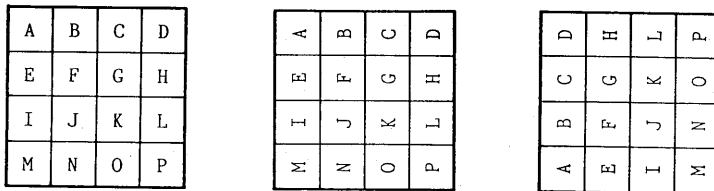


図2 部分回転

アルゴリズムを詳細に説明するためには、“小ブロックを単位とした回転”と“中ブロック内の回転”の概念が必要である。nは素数ではないとして、 $n = k \ell m$ とする。n×nドットパターンを大きさk×kの $\ell^2 m^2$ 個のブロックに分割する。大きさk×kの $\ell^2 m^2$ 個のブロックがあると解釈することもできる。前者を小ブロック、後者を中ブロックとすると、次数(k, ℓ)の回転とは大きさk×kの小ブロックを単位として大きさk×kの中ブロック内で回転することとする。正確には、次数(k, ℓ)の部分回転とは、もとのパターンにおける第(k ℓ u + kv + w)語の第(k ℓ p + kq + r)ビットを新しいパターンにおける第(k ℓ u + k(ℓ - 1 - q) + w)語の第(k ℓ p + kv + r)ビットに移すことである(ただし、p, u = 0, ..., m - 1; q, v = 0, ..., ℓ - 1; r, w = 0, ..., k - 1)(図3)。次数(k, ℓ)の回転は次の手続き subrotate(source, destination, k, ℓ , m, mask)によって実行される。ただし、sourceとdestinationはもとのパターンと回転後のパターンの存在する領域である。

```

procedure subrotate(source, destination, k, l, m, mask);
  array source, destination, mask;
  integer k, l, m, p, q, r, v;
  for p := 0 step 1 until m - 1 do
    for r := 0 step 1 until k - 1 do
      for v := 0 step 1 until l - 1 do
        begin
          for q := 0 step 1 until l - 1 do
            begin
              register[q] := source[k × l × p + k × q + r];
              register[q] := register[q] ∧ mask[v];
              shiftright(q, k × (q - v))
            end;
          for q := 1 step 1 until l - 1 do
            register[0] := register[0] ∨ register[q];
            destination[k × l × p + k × q + r] := register[0]
          end
        end
      end
    end
  end

```

上記の手続きにおいて∧と∨はそれぞれ語のビットごとのAND演算とOR演算である。maskは ℓ 語の配列で、第

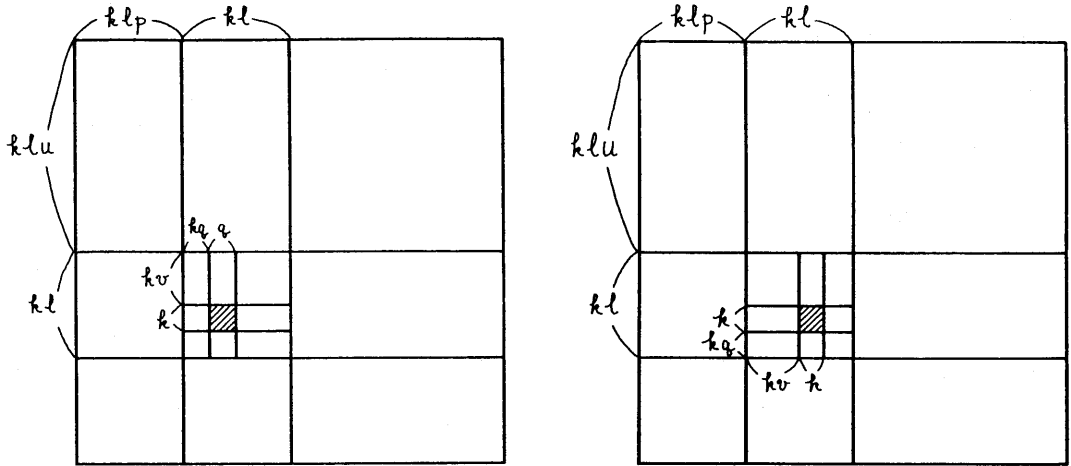


図3 次数 (k, l) の部分回転

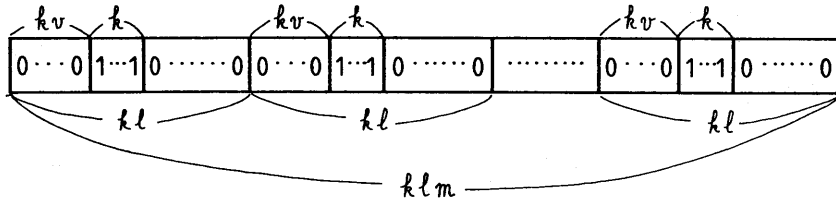


図4 mask [v]

v 要素 mask [v] ($v=0, 1, \dots, l-1$) の第 j ビットは

ある $u (=0, 1, \dots, m-1)$ に対して $kl u + kv \leq j < kl u + k(v+1)$ のとき 1 ;
上記以外 のとき 0,

とする。mask [v] は符号なし整数

$$2^{k(l-v-1)} \sum_{w=0}^{k-1} 2^w \sum_{u=0}^{m-1} 2^{klu} = 2^{k(l-1-v)} (2^k - 1) (2^m - 1) / (2^{kl} - 1)$$

と解釈することもできる。手続 shiftright(i, j) は register [i] のビットを j ビット右にシフトする。ただし、 $j = 0$ なら register [i] の内容は変わらず、 $j < 0$ なら register [i] のビットは $-j$ ビット左にシフトする。

mask [v] が符号なし整数 2^{n-v-1} , すなわち、

$$\underbrace{0 \dots 0}_v 1 \underbrace{0 \dots 0}_{n-v-1}$$

のときは、subrotate (source, destination, 1, n , 1, mask)

は素朴な $O(n^2)$ のアルゴリズムと変わりがない。また、mask [v] が符号なし整数 2^{n-1} , すなわち、

$$\underbrace{1 \dots 1}_n$$

のときは、subrotate (source, destination, n , 1, 1, mask) は回転しない (すなわち恒等変換) のに等しい (ただし、手間は $O(n)$ であり、何もしないわけではない)。

$n \times n$ ドットパターンを 90° 回転するアルゴリズム R_{90} は、上記の subrotate を用いて次のように記述される。

まず、 $n = k_1 k_2 \dots k_t$ と分解する。その上で、次のステップ 1, ステップ 2, ..., ステップ t を実行する。ただし、work2, work3, ..., work t は n 語の連続する作業場所、source, work2, work3, ..., work t , destination は互いに重ならないものとする。

ステップ 1 subrotate (source, work2, 1, $k_1, k_2 \dots k_t$, mask1)

ただし, MASK1は大きさ k_1 の配列で, $\text{mask1}[v]$ ($v=0, \dots, k_1-1$)の値は $2^{k_1-1-v}(2^1-1)(2^n-1)/(2^{k_1}-1)$

ステップ2 $\text{subrotate}(\text{work2}, \text{work3}, k_1, k_2, k_3 \dots k_t, \text{mask2})$
 ただし, MASK2は大きさ k_2 の配列で, $\text{mask2}[v]$ ($v=0, \dots, k_2-1$)の値は $2^{k_1-k_2-1-v}(2^{k_1}-1)(2^n-1)/(2^{k_1-k_2}-1)$

⋮

ステップt $\text{subrotate}(\text{workt}, \text{destination}, k_1 \dots k_{t-1}, k_t, 1, \text{maskt})$
 ただし, MASKtは大きさ k_t の配列で, $\text{maskt}[v]$ ($v=0, \dots, k_t-1$)の値は $2^{k_1-k_2 \dots k_{t-1}-k_t-1-v}(2^{k_1-k_2 \dots k_{t-1}}-1)(2^n-1)/(2^{k_1-k_2 \dots k_{t-1}}-1)$

3. R₉₀の手間

手続き $\text{subrotate}(\text{source}, \text{destination}, k, \ell, m, \text{mask})$ は

MOVE命令 $k \ell^2 m + n$ 回
 AND命令 $k \ell^2 m$ 回
 OR命令 $k \ell (\ell - 1) m$ 回
 SHIFT命令 $k \ell^2 m$ 回

から成るので, 手間は $O(\ell n)$ である($k \ell m = n$ であることに注意). したがって, ステップ1, ステップ2, ..., ステップtの手間はそれぞれ $O(k_1 n)$, $O(k_2 n)$, ..., $O(k_t n)$ である. これらを合わせると, R₉₀の手間は全体で $O((k_1 + k_2 + \dots + k_t) n)$ である. なお, ここでは n を積 $k_1 k_2 \dots k_t$ に分解する手間は考えていない. また, mask1 , mask2 , ..., maskt は immediate data としてプログラム中に定数として直接埋め込むことができるので, それらを作り出す手間も考えていない.

$n = 2^t$ のときは, 含まれる命令の数は, MOVE命令 $3n \log_2 n$ 回, AND命令 $2n \log_2 n$ 回, OR命令 $n \log_2 n$ 回, SHIFT命令 $2n \log_2 n$ 回であり, 手間は $O(n \log n)$ である.

冒頭に述べたプリンタでは, $n = 32$ であるから, MOVE命令 480回, AND命令 320回, OR命令 160回, SHIFT命令 320回である. そこでは, アセンブリ言語を用い, direct あるいは immediate アドレッシングモードを用いているので, for ループやアドレス計算などの手間は無視できる. MC68000では, それぞれの命令の実行時間は, MOVE命令 19クロック, AND命令 7クロック, OR命令 25クロック, SHIFT命令 $9 + 2s$ クロック (s はシフトするビットの数, ここでは $s = 1, 2, 4, 8, 16$ が同じ回数ずつ)である. 1クロックは125ナノ秒なので, 計算時間は3.281ミリ秒となり, 5ミリ秒以下という当初の目標は達成された.

もし, $n = 32$ のとき $\text{subrotate}(\text{source}, \text{destination}, 1, 32, 1, \text{mask})$ (ただし, $\text{mask}[v]$ は符号なし整数 2^{n-v-1}) によって回転するのであれば, それぞれの命令の実行回数は1024回であるので, 全体の実行時間は7.936ミリ秒となり, 5ミリ秒以下という当初の目標は達せられない.

4. アルゴリズムR₁₈₀, R₂₇₀

180°の回転はR₉₀を2回行えばよく, 手間もオーダーとしてはR₉₀と同じであるが, $n = 32$ のとき5ミリ秒以下で行うという目標は達せられない. そこで, R₉₀とは別のアルゴリズムを考えることにする(ただし, 考え方はR₉₀と同じである).

まず, 次数 (k, ℓ) の部分反転を定義する. もとのパターンにおける第 $(k \ell u + k v + w)$ 語の第 $(k \ell p + k q + r)$ ビットを新しいパターンにおける第 $(k \ell u + k (\ell - 1 - v) + w)$ 語の第 $(k \ell p + k (\ell - 1 - q) + r)$ ビットに移すことである(ただし, $p, u = 0, \dots, m-1$; $q, v = 0, \dots, \ell-1$; $r, w = 0, \dots, k-1$). 次数 (k, ℓ) の部分反転は次の手続き $\text{subtranspose}(\text{source}, \text{destination}, k, \ell, m, \text{mask})$ によって実行される.

```

procedure subtranspose(source, destination, k, l, m, mask);
  array source, destination, mask;
  integer k, l, m, q, u, v, w;
  for u := 0 step 1 until m - 1 do
    for w := 0 step 1 until k - 1 do

```

```

for v := 0 step 1 until m - 1 do
begin
clearregister(1);
for q := 1 step 1 until l - 1 do
begin
register[0] := source[k × l × u + k × q + w];
register[0] := register[0] ∧ mask[q];
shiftright(0, k × (l - 1 - q));
register[1] := register[1] ∨ register[0]
end;
destination[k × l × u + k × (l - 1 - v) + w] := register[1]
end

```

ここで、clearregister(1) は register[1] の内容を 0 にする命令である。また、mask[q] は subrotate の場合と同様に $2^{k(l-1-q)}(2^k-1)(2^n-1)/(2^k-1)$ である。

$n \times n$ のドットパターンの 180° の回転は、 $n = k_1 k_2 \dots k_t$ と分解した上で、次のステップ 1、ステップ 2、…、ステップ t を実行すればよい。

```

ステップ 1  subtranspose (source, work2, 1, k1, k2…kt, mask1)
ステップ 2  subtranspose (work2, work3, k1, k2, k3…kt, mask2)

```

⋮

```

ステップ t  subtranspose (workt, destination, k1…kt-1, kt, 1, maskt)

```

ただし、work2, work3, …, workt, mask1, mask2, …, maskt は R_{90} におけるものと同じである。

R_{180} の手間は $O((k_1 + k_2 + \dots + k_t)n)$ である。とくに、 $n = 2^t$ のときは、含まれる命令の数は

```

MOVE命令    4 n log2 n 回
AND命令     2 n log2 n 回
OR命令      2 n log2 n 回
SHIFT命令   2 n log2 n 回

```

であり、手間は $O(n \log n)$ である。 $n = 32$ のときに MC 68000 で実行すると 3.656 ミリ秒となる。

270° の回転は R_{90} を 3 回行ったり、 R_{180} と R_{90} を 1 回ずつ行うのではなく、 -90° の回転を行うのがよい。それには、 R_{90} における

$$\text{shiftright}(q, k \times (q - v))$$

を

$$\text{shiftright}(q, k \times (v - q))$$

で置き換えればよい。これを R_{270} とする。 R_{270} の手間は R_{90} と同じである。

5. ドットパターンの回転・反転等のなす群

次の式は容易に確かめられる。

```

R90R90 = R180
R90R180 = R180R90 = R90R90R90 = R270
R90R270 = R270R90 = R180R180 = I

```

ただし、I は恒等変換である。

この外、ドットパターンを左右、上下に対称に反転する操作も有用である。それらを H, V と記すことにしよう。こうして、次の群 G が得られる (図)。

$$G = \{I, R_{90}, R_{180}, R_{270}, H, VR_{270}, V, VR_{90}\}$$

左右反転 H は、subtranspose における

$$\text{destination}[k \times l \times u + k \times (l - 1 - v) + w] := \text{register}[1]$$

を

I	R ₉₀	R ₁₈₀	R ₂₇₀
?			
H	VR ₂₇₀	V	VR ₉₀

図5 ドットパターンの回転・反転等のなす群

$$destination[k \times l \times u + k \times v + w] := register[1]$$

で置き換えたものを用いてR₁₈₀を行えばよい。したがって、Hの手間はR₁₈₀と同じである。

上下反転Vの手順は自明であろう。手間はO(n)で、R₉₀、R₁₈₀、R₂₇₀、H等と比べれば無視できる。したがって、VR₂₇₀、VR₉₀のために新しいアルゴリズムを考える必要はなく、VとR₂₇₀やR₉₀を組み合わせればよい。

以上から、R₉₀、R₁₈₀、R₂₇₀、H、Vだけのプログラムを作ればよい。

6. 高速フーリエ変換との関係

アルゴリズムR₉₀と高速フーリエ変換(FFT)とを比較するのは興味深い。一般に、フーリエ変換は

$$\sigma(f) = \int_0^{2\pi} e^{-ift} x(t) dt,$$

で定義される。ただし、x(t)は信号、σ(f)はスペクトラムである。

数値計算では、次式によって計算する。

$$\hat{\sigma}(f) = \sum_{t=0}^{n-1} \omega^{ft} x\left(\frac{2\pi t}{n}\right) \quad (f = 0, 1, \dots, n-1)$$

ただし、

$$\omega = \exp\left(-\frac{2\pi i}{n}\right) = \cos \frac{2\pi}{n} - i \sin \frac{2\pi}{n}$$

上式にしたがってσ(f)を計算すると、手間はO(n²)かかる。高速フーリエ変換は次の原理にしたがってσ(f)を計算する。

n = k l mとし、f = l m ζ + m η + θ、t = k l p + k q + rとする。

$$\begin{aligned} \hat{\sigma}(f) &= \sum_{r=0}^{k-1} \sum_{q=0}^{l-1} \sum_{p=0}^{m-1} \omega^{(lm\zeta + m\eta + \theta)(klp + kq + r)} x\left(\frac{2\pi}{n}(klp + kq + r)\right) \\ &= \sum_{r=0}^{k-1} \omega^{(lm\zeta + m\eta + \theta)r} \sum_{q=0}^{l-1} \omega^{(m\eta + \theta)kq} \sum_{p=0}^{m-1} \omega^{\theta klp} x\left(\frac{2\pi}{n}(klp + kq + r)\right) \end{aligned}$$

そこで、次の部分フーリエ変換subftを考える。

```

procedure subft (signal, spectrum, k, l, m, omega);
array signal, spectrum;
integer k, l, m, p, q, r;
complex omega;
begin

```

```

w := 0;
for theta := 0 step 1 until m - 1 do
  for eta := 0 step 1 until l - 1 do
    for r := 0 step 1 until k - 1 do
      for q := 0 step 1 until l - 1 do
        w := w + omega ↑ ((m × eta + theta) × k × q) ×
          signal[k × l × θ + k × q + r];
        spectrum[k × l × theta + k × q + r] := w
      end
    end
  end
end

```

高速フーリエ変換は、 $n = k_1 k_2 \cdots k_t$ と分解した上で、次のステップ1、ステップ2、 \dots 、ステップtをこの順に実行すればよい。

```

ステップ1  subft (signal, work2, k1...kt-1, kt, 1, omega)
ステップ2  subft (work2, work3, k1...kt-2, kt-1, kt, omega)

```

⋮

```

ステップt  subft (workt, spectrum, 1, k1, k2...kt, omega)

```

手間は $O((k_1 + k_2 + \cdots + k_t)n)$ である。とくに、 $n = 2^t$ のときは、 $O(n \log n)$ である。

7. まとめ

$n \times n$ ドットパターンを 90° 、 180° 、 270° 回転したり、左右・上下に反転したりする演算がなす群の構造を考察し、それらを $O(n \log n)$ の手間で行うアルゴリズムを提案した。とくに、 $n = 32$ の場合に、MC68000で5ミリ秒以内でできることも示した。また、それらのアルゴリズムと高速フーリエ変換との類似点についても考察した。

n が語長より大きい場合にもこのアルゴリズムを利用することはできるが、その場合は、 $n \times n$ ドットパターンを記録するデータ構造を工夫する方が重要であろう。その問題については、別の機会に論ずることとする。

謝辞

本研究のきっかけを与えて下さった東京農工大学工学部数理情報工学科助手中川正樹氏、同大学院学生関口治氏（現日立製作所）に感謝申し上げます。

参考文献

- [1] H. Samet, "The quadtree and related hierarchical data structure," ACM Computing Surveys 16, 187-260 (1984).
- [2] MC68000 User's Manual, Motorola Co. Ltd., 1979.
- [3] J. W. Cooley and J. W. Tukey, "An algorithm for the machine calculation of complex Fourier series," Mathematics of Computation 19, 297-301 (1965).